



## RESEARCH ARTICLE

10.22067/econg.2025.1141

OPEN ACCESS

## Determination of source and assessment of contamination of potentially toxic elements mineral dusts of the Chadormalu Iron Mine, Bafq, Northeast of Yazd

Shiva Mehrabani <sup>1</sup>, Mohammad Maanijou <sup>2\*</sup> , Afshin Qishlaqi <sup>3</sup> , Yokoo Yoriko <sup>4</sup>

<sup>1</sup> Ph.D. Student, Department of Geology, Faculty of Science, Bu-Ali Sina University, Hamedan, Iran

<sup>2</sup> Professor, Department of Geology, Faculty of Science, Bu-Ali Sina University, Hamedan, Iran

<sup>3</sup> Assistant Professor, Department of Environmental Geology and Hydrology, Faculty of Earth Science, Shahrood University of Technology, Shahrood, Iran

<sup>4</sup> Assistant Professor, Department of Environmental Systems Science, Faculty of Science and Engineering, Doshisha University, Kyoto- shi, Kyoto, Japan

### ARTICLE INFO

#### Article History

Received: 11 February 2025

Revised: 28 June 2025

Accepted: 30 June 2025

#### Keywords

Potentially toxic elements

mineral dust

Chadormalu Mine

Bafq

### ABSTRACT

This study evaluates the concentration and source of potentially toxic elements in thirteen samples of in-situ dust collected from the Chadormalu iron mine, located 180 km northeast of Yazd city. Various geochemical indices including the geoaccumulation index, potential ecological risk index, the nemerow integrated pollution index, enrichment index and health risk were applied to assess the level of pollution in the mineral dust. Based on the  $I_{geo}$  index, the studied samples are classified as the severely polluted with elements such as Cr, Mn, Co, ni, Cu, Zn, As, Sn, Pb and V. They also exhibit moderate to severe contamination with respect to Mo. The potential ecological risk index of the element arsenic falls into the extremely high-risk category. The elements Mo, Cu, Zn, As, Sn and V are classified as severely polluted based on the integrated pollution index (NIP), while the metals Pb, Ni and Co are categorized as moderately polluted. The enrichment index of the dust samples indicates the minimal enrichment for the studied elements. Based on the health risk assessment data, As and Cr exhibited the highest hazard quotient (HQ) values through the ingestion pathway. The non-carcinogenic risk associated with all the studied elements, when inhalation and dermal contact, was estimated to be less than 1. Consequently, individuals experience no adverse health effects. The risk of carcinogenicity exists for adults and children through ingestion of arsenic and for children through ingestion of chromium. Principal component analysis (PCA) revealed that the elements Co, Ni, Mo, V, and Sn have geogenic origins, while other elements are influenced by anthropogenic sources, including mining and processing activities.

#### \*Corresponding author

Mohammad Maanijou

[mohammad@basu.ac.ir](mailto:mohammad@basu.ac.ir)

#### How to cite this article

Mehrabani, Sh., Maanijou, M., Qishlaqi, A. and Yoriko, Y., ?. Determination of source and assessment of contamination of potentially toxic elements mineral dusts of the Chadormalu Iron Mine, Bafq, Northeast of Yazd. Journal of Economic Geology, ?(?)?: ?-?. (in Persian with English abstract) <https://doi.org/10.22067/econg.2025.1141>



©2025 The author(s). This is an open access article distributed under the terms of the Creative Commons Attribution (CC BY 4.0), which permits unrestricted use, distribution, and reproduction in any medium, as long as the original authors and source are cited. No permission is required from the authors or the publishers.

## EXTENDED ABSTRACT

### Introduction

Mining and mineral processing are often associated with the release of toxic dust and effluents from tailings dams and metallurgical slag. Dust particles emitted during mining and mineral processing operations directly affect human health by being ingested or inhaled. The Chadormalu iron mine, situated 180 km northeast Yazd, is the largest iron deposit in Central Iran and part of the Bafq-Saghand metallogenic province. The sources of mineral dust production in the Chadormalu mine include the explosion sites surrounding the mine, the crusher, the tailings silo, the reclaimer, and the mineral dust emanating from the dry surface of the tailing dams. The aims of the present study to investigate the source and determine the contamination of potentially toxic elements (PTEs) in mineral dust and its impact on human health.

### Materials and methods

To assess the PTEs, thirteen mineral dust samples were collected from various locations within the Chadormalu mine using plastic brushes and a dustpan in December 2023. The samples dried at room temperature and then passed a 2-mm sieve to eliminate roots, debris and stones. To determine the concentration of elements, sample of powdered material subsampled to 230- mesh sieve by an agate miller. Approximately, 0.5 gr of prepared sample digested in a mixture of 2 ml of HF (40%), 2 ml of HNO<sub>3</sub> (65%), and 6 ml of HCl (37%), following the standard method (DIN EN 13656: 2021-07), and subsequently, the elemental concentrations were determined using an Agilent 7850 ICP-MS instrument at the Eurofins Umwelt Ost GmbH laboratory, Freiberg, Germany. Quality control of the samples was performed using certified reference materials (CRMs) to measure accuracy, blank samples to assess contamination, and replicate samples to assess precision.

### Results and discussion

The average concentrations of elements (mg/kg) in the mineral dust samples follow this order: Mn > V > Ni > Zn > Cu > As > Cr > Co > Pb > Sn > Mo. To determine the level of pollution, the geoaccumulation index ( $I_{geo}$ ) was determined as follow (Müller, 1969):

$$I_{geo} = \log_2(C_n / 1.5B_n)$$

Where  $C_n$  and  $B_n$  represent the concentrations of elements in the sample and reference element (upper crust content), respectively. Based on the geoaccumulation index results, the elements Cr, Mn, Co, Ni, Cu, Zn, As, Pb and V are considered very strong polluted. The enrichment factor (EF) is expressed using the following equation (Liu et al., 2014), considering Fe as the reference element:

$$EF = (C_i/C_r)_{\text{Sample}} / (C_i/C_r)_{\text{Baseline}}$$

The  $C_i$  and  $C_r$  values refer to the element concentrations in the sample and reference material. The results indicates the minimal enrichment for the studied elements.

The ecological risk index (RI) is obtained by the follows (Zhang et al., 2018):

$$RI = \sum_i^m E_r^i = \sum_i^m T_r^i \times \left( \frac{C_i}{C_n^i} \right)$$

Where  $E_r^i$  and  $T_r^i$  are the ecological risk index and toxicity index of elements,  $C_i$  and  $C_n^i$  are the elements measured in the sample and reference material, respectively. On the basis of the results, the  $E_r^i$  values of elements Cr, Mn, Ni, Cu, Pb, V and Zn are considered low ecological risk at all mineral dust sampling stations. However, arsenic exhibits a moderate ecological risk in the study area. The RI value indicated the highest level of pollution and potential ecological risk at station FD8.

Sawut et al. (2018) defined the Integrated Pollution Index of Nemerow (NIPI) as follows:

$$NIPI = \sqrt{(P_{i\max}^2 + P_{iave}^2 / 2)}$$

That  $P_i$  is the single-factor pollution index for each element. The NIPI values indicated that Cu, Zn, As, Mo, Sn and V in the mineral dust samples belong to the heavy pollution class, while Co, Ni and Pb belong to the moderate pollution categories. Additionally, the element Cr classified as clean, while Mn classified as slightly polluted.

In this study, health risk assessment for both adults and children were conducted based on inhalation, ingestion and dermal contact with PTEs present in mineral dust. The calculations were performed by the following relationship (USEPA, 1997):

$$ADDing = \frac{C_n \times IngR \times EF \times ED}{BW \times AT} \times CF$$

$$ADDinh = \frac{C_n \times InhR \times EF \times ED}{PEF \times BW \times AT}$$

$$\text{ADDdermal} = \frac{C_n \times SA \times AF \times ABS \times EF \times ED}{BW \times AT} \times CF$$

The non-carcinogenic risks associated with elements are determined using the following equation (Hossen et al., 2021):  $HQ = \frac{\text{ADD}}{\text{RfD}}$

Where HQ is the hazard quotient to assess the non-carcinogenic hazard and RfD is the reference dose value (mg/kg/day). The hazard index (HI) is the cumulative sum of hazard quotient (HQ) values used to evaluate the overall non-carcinogenic risk posed by multiple toxicants (Hossen et al., 2021):

$$HI = \sum HQ = HQ_{\text{ing}} + HQ_{\text{inh}} + HQ_{\text{derm}}$$

If  $HQ$ ,  $HI < 1$ , indicates the absence of non-carcinogenic effects, while if  $HQ$ ,  $HI > 1$ , it suggests the presence of non-carcinogenic effects. The health risk assessment and HQ values indicate that the non-carcinogenic risk of the potentially toxic elements Ni, Cu, Zn, and Pb for adults and children is less than 1, indicating that there is a carcinogenic risk associated with these PTEs in the study area. Based on the HI values, both adults and children face a non-carcinogenic health risk when ingested occurs. The health risk assessment reveals that the non-carcinogenic risk is higher in children compared to adults. Arsenic emerges as the main risk factor for both age groups. The ingestion of As for children and adult, as well as Cr for children is associated with

carcinogenic risks.

### Conclusion

This study assessed the contamination of mineral dust with PTEs, determined the source of contamination and evaluated the health risks associated with the Chadormalu iron mine. The study of the concentration of total toxic elements revealed that the average concentration of all elements except for Cr and Mn is more than the concentration of metals found in the upper crust content. Non-carcinogenic risk of elements is higher in children than in adults, with As being the primary risk factor. The health risk assessment reveals that ingestion is the most important pathway for PTEs exposure. The results of calculating pollution indicators in the study area revealed that the main source of PTEs pollution is the mineralization of natural iron ore and mineral processing. These activities pose significant risks to human health and the environment.

### Acknowledgment

We are grateful to the Chadormalu Industrial and Mining Company, particularly Mr. Mahmoudi, for their cooperation and Mr. Meinhold (TU Bergakademie Freiberg, Germany) for providing the geochemical data. The authors express their sincere gratitude to the reviewer of Journal of Economic Geology for their valuable and insightful comments.



OPEN ACCESS

doi 10.22067/econg.2025.1141

مقاله پژوهشی

## تعیین منشأ و ارزیابی آلودگی عناصر بالقوه سمی در غبار بر جا معدن آهن چادرملو، بافق، شمال شرق یزد

شیوا مهربانی<sup>۱</sup>، محمد معانی جو<sup>۲\*</sup>، افشین قشلاقی<sup>۳</sup>، یوکو یوریکو<sup>۴</sup>

<sup>۱</sup> دانشجوی دکتری، گروه زمین‌شناسی، دانشکده علوم، دانشگاه بوعالی سینا، همدان، ایران

<sup>۲</sup> استاد، گروه زمین‌شناسی، دانشکده علوم، دانشگاه بوعالی سینا، همدان، ایران

<sup>۳</sup> استادیار، گروه زمین‌شناسی زیست محیطی و آب‌شناسی، دانشکده علوم زمین، دانشگاه صنعتی شهرورد، شهرورد، ایران

<sup>۴</sup> استادیار، گروه علوم سیستم‌های محیطی، دانشکده علوم و مهندسی، دانشگاه دوشیشا، کیوتو، ژاپن

### اطلاعات مقاله

#### چکیده

در این پژوهش، غلظت عناصر بالقوه سمی در ۱۳ نمونه غبار بر جا در معدن آهن چادرملو واقع در ۱۸۰ کیلومتری شمال شرق شهرستان یزد ارزیابی شد. برای بررسی شدت آلودگی ذرات غبار از ضریب زمین‌انباشت، شاخص خطر اکولوژیکی، شاخص آلودگی نمرو، ضریب غنی‌شدگی و شاخص خطر سلامت استفاده شد. بر اساس ضریب زمین‌انباشت، نمونه‌های غبار نسبت به عناصر کروم، منگنز، کبالت، نیکل، مس، روی، آرسنیک، قلع، سرب و وانادیوم دارای آلودگی خیلی شدید و نسبت به مولیبدن دارای آلودگی متوسط تا شدید هستند. شاخص خطر اکولوژیکی رده خطر بسیار زیاد را برای عصر آرسنیک نشان می‌دهد. نتایج شاخص آلودگی نمرو بیانگر آلودگی شدید عناصر مولیبدن، مس، روی، آرسنیک، قلع و وانادیوم و آلودگی متوسط عناصر سرب، نیکل و کبالت است. نتایج ضریب غنی‌شدگی در نمونه‌ها کمترین غنی‌شدگی را برای عناصر مورد بررسی نشان می‌دهند. بر اساس نتایج حاصل از ارزیابی خطر سلامتی، بیشترین مقدار ضریب خطر غیر سلطان‌زایی برای عناصر آرسنیک و کروم و از طریق مسیر بلعیدن به دست آمد. میزان خطر غیر سلطان‌زایی همه عناصر مورد بررسی، از طریق مسیر تنفسی و تماس پوستی کمتر از ۱ تخمین‌زده شد و لذا نشان‌دهنده نبود اثر منفی بر سلامت افراد است. خطر سلطان‌زایی در بزرگسالان و خردسالان نیز برای عنصر آرسنیک از مسیر بلعیدن وجود دارد و برای عنصر کروم، از طریق مسیر بلع برای خردسالان دارای خطر سلطان‌زایی است. نتایج تحلیل مؤلفه اصلی نشان داد که عناصر کبالت، نیکل، مولیبدن، وانادیوم و قلع دارای منشأ زمین‌زاد و سایر عناصر از منابع انسان‌زاد مانند فعالیت‌های معدنی و فراوری منشأ گرفته‌اند.

#### واژه‌های کلیدی

عناصر بالقوه سمی

غبار بر جا

معدن چادرملو

بافق

#### نویسنده مسئول

محمد معانی جو

mohammad@basu.ac.ir

#### استناد به این مقاله

مهربانی، شیوا؛ معانی جو، محمد؛ قشلاقی، افشنین و یوریکو، یوکو،؟. تعیین منشأ و ارزیابی آلودگی عناصر بالقوه سمی در غبار بر جا معدن آهن چادرملو، بافق، شمال شرق یزد. زمین‌شناسی اقتصادی،؟(؟)؛-؟. doi:https://doi.org/10.22067/econg.2025.1141

#### مقدمة

و در سال ۱۳۷۷ شروع به فعالیت رسمی کرد (Kani Kavan 2021). سنگ آهن استخراج شده، پس از استخراج به کارخانه فراوری ارسال شده و بعد از فراوری، عیار آهن به ۶۷/۵ درصد، فسفر ۰/۰۶ درصد و گوگرد به کمتر از ۰/۰۳ درصد رسیده و به صورت کنسانتره در می آید. آن گاه بعد از تبدیل به گندله، به کارخانه های فولادسازی و ذوب آهن ارسال می شود. کارخانه گندله سازی چادرملو با ظرفیت تولید سالانه ۳/۶ میلیون تن گندله از کنسانتره سنگ آهن در ۲۵ کیلومتری غرب اردکان - نایین قرار دارد. محصول این کارخانه ماده اولیه اصلی برای تولید آهن اسفنجی است که با استفاده از روش احیا در تولید شمش فولادی به کار می رود. تولیدات اصلی کنسانتره سنگ آهن، گندله، سنگ آهن دانه بندی شده (درشت دانه و ریز دانه) و کنسانتره آپاتیت است. سنگ آهن دانه بندی شده برای مصرف در صنایع فولاد به روش کوره بلند مصرف می شود. سنگ آهن به عنوان ماده اولیه اصلی مورد نیاز در صنایع فولاد است. منابع تولید غبار در معدن چادرملو، محل انفجارهای اطراف معدن، سنگ شکن، سیلوی باطله، ریکلایمر و غبارهای بر جا حاصل از سطح خشک سدهای باطله است. مهم ترین عامل آلودگی در منطقه، آزادسازی و نهشت ذرات غبار سنگ آهن طی خردایش و انتشار ذرات از سدهای باطله است. فعالیت های معدنی و فراوری مقادیر بسیار زیادی عناصر بالقوه سمی تولید می کنند که می توانند از طریق بلع، استنشاق و تماس های پوستی وارد بدن شوند، در نتیجه به اثرات جدی بر سلامتی منجر می شوند. هدف از این پژوهش، ارزیابی شدت آلودگی ذرات غبار بر جا معدن آهن چادرملو به عناصر بالقوه سمی، تعیین منشأ این عناصر و بررسی خطر سلامتی ناشی از قرار گیری در معرض غبار آلوه به عناصر بالقوه سمی است.

#### آب و هوای زمین‌شناسی منطقه

منطقه چادرملو به دلیل موقعیت جغرافیایی کویری، دارای آب و هوای سرد و خشک در زمستان و گرم در تابستان است. متوسط بارندگی سالیانه در منطقه ۷۰ میلی متر و دمای هوای بین ۱۰ تا ۴۵

تأثیر معدن کاری و فراوری مواد معدنی بر محیط زیست در نواحی معدنی در بررسی های بسیاری مورد بحث قرار گرفته است. فعالیت های معدنی معمولاً به ورود عناصر بالقوه سمی به محیط زیست منجر می شود (Zhang et al., 2018). آلودگی محیط به این عناصر به دلیل خطراتی که برای سلامت انسان و کیفیت بوم سامانه دارد، یک نگرانی بزرگ جهانی است؛ به طوری که برخی از این عناصر حتی در غلظت کم، بسیار سمی هستند (Dou et al., 2013; Khelifi et al., 2021; Boumaza et al., 2021) استخراج و فراوری مواد معدنی اغلب با انتشار گرد و غبار حاوی عناصر بالقوه سمی از سدهای باطله و سرباره های متالورژی همراه است. ذرات غبار ساطع شده از عملیات معدن کاری و فراوری مواد معدنی، تأثیر مستقیمی بر کیفیت محصولات مورد استفاده برای تولید مواد غذایی (Kříbek et al., 2014) و سلامتی انسان دارند که می توانند ذرات ریز غبار را بلع یا استنشاق کنند (Banza et al., 2009; Ettler et al., 2019; Smolders et al., 2019) قرار گرفتن بیش از حد در معرض غبار کانی های آذینستی، باعث بیماری هایی مانند آذینستوسیس، مزوتیوما، سرطان ریه، در معرض قرار گیری با ذرات غبار سیلیس سبب بیماری سیلیکوسیس، سرطان ریه و غبار زغال سنگ باعث بیماری پنومو کونیوسیس می شود (Plumlee et al., 2006; Singh et al., 2009) یک بیماری شایع در بین کارگرانی است که در معرض گرد و غبار سنگ آهن هستند (Chen et al., 1990; Chau et al., 1993; Wild et al., 2009).

کانسار آهن چادرملو بزرگ ترین کانسار آهن در ایران مرکزی و بخشی از ایالت متالورژیک بافق - ساغند است که در پهنه ایران مرکزی در ۱۸۰ کیلومتری شمال شرق شهرستان یزد، ۶۵ کیلومتری شمال معدن چغارت و ۳۰۰ کیلومتری جنوب طبس قرار گرفته است. کانسار آهن چادرملو از مرحله شناسایی (۱۳۱۹) تا اکتشاف تفضیلی (۱۳۵۸) با ۹/۶۸ کیلومترمربع مغناطیس سنگی زمینی به پایان رسید. سپس مقدمات عملیات بهره برداری از معدن فراهم شد

پی سنگ پر کامبرین در ناحیه چادرملو سنگ‌های دگرگونی درجه متوسط تا بالا از قبیل شیست، آمفیولیت، گنیس، کوارتزیت و مرمر (کپلکس بنه‌شور و سرکوه) و سنگ‌های دگرگونی درجه پایین مانند شیل، ماسه‌سنگ کوارتزیتی، گریوک و فیلیت است (پایین مانند شیل، ماسه‌سنگ کوارتزیتی، گریوک و فیلیت است (Torab and lehmann, 2007 توالی آتشفسانی-رسوبی کامبرین زیرین (Ramezani, 1997) پوشیده شده است. این توالی آتشفسانی-رسوبی در برگیرنده ریولیت‌های کالک‌آلکالن، ریوداسیت، بازالت، کمی واحد تبخیری، کربناته، ماسه‌سنگ و گل سنگ است.

در این کانسار، سنگ‌ها شامل سنگ‌های آذرین نفوذی و بیرونی کامبرین آغازین است و طیف وسیعی از ترکیب‌ها از سنگ‌های مافیک (گابریو-دیوریت) تا فلزیک (ریولیت) را نشان می‌دهند و درجه‌های مختلفی از دگرگسانی گرمابی و متامورفیسم را تجربه کرده‌اند. سنگ‌های دگرگونی در منطقه از میکاشیست، گارنت‌شیست، آندالزیت-سیلیمانیت‌شیست، آمفیولیت و گنیس و مجموعه‌ای از سنگ‌های رسوبی مشکل از کنگلومرا، سنگ‌آهک، دولومیت، ماسه‌سنگ و برش تشکیل شده است. سنگ میزبان این کانسار سنگ‌های دگرگونی پر کامبرین و سنگ‌های آتشفسانی دگرسان شده گرمابی کامبرین آغازین (اغلب ریولیت) با ترکیب‌های دولومیت سیلیسی و برش‌های آذرآواری، متعلق به سازند ریزو و در ارتباط با گرانیتوئیدهای کامبرین آغازین چادرملو هستند. تمام انواع سنگ‌ها در منطقه توسط دایک‌های مافیک قطع شده‌اند. کانسنگ توده‌ای توسط رگه‌های آلتی در برخی قسمت‌ها بریده شده است. سنگ‌های میزبان ریولیت نیز به شدت دگرسان شده‌اند. مگنتیت کانی اصلی آهن در کانسار چادرملو، با همایت، آنکریت و سیدریت همراه است. کانی‌های سولفیدی به صورت جزئی به ویژه پیریت در طی مراحل پایانی کانی‌سازی مگنتیت شکل شده‌اند. کانی‌های فرعی دیگر در کانسنگ آهن شامل آپاتیت، کلسیت و کلریت است (Daliran et al., 2010; Heidarian et al., 2017).

درجه سانتی گراد متغیر است. میزان بارش سالانه ۱۱۰ میلی‌متر و میزان رطوبت ۱۲ درصد است. میزان تبخیر سالانه ۴۳۷۸ میلی‌متر بوده که حدود ۴۰ برابر بارندگی است. وزش باد تقریباً همیشگی است. در تابستان جهت عمدۀ باد از جنوب به شمال است؛ در حالی که در فصل پاییز جهت وزش باد از شمال‌غرب به جنوب‌شرق است و جهت باد غالب در منطقه شمال‌غرب به جنوب‌شرق است. بیشترین سرعت باد ۱۴/۴ متر بر ثانیه گزارش شده است (Moghtaderi, 2006). کانسار آهن چادرملو، بزرگ‌ترین کانسار آهن در ایران مرکزی و بخشی از ایالت متألوفنیک بافق-Stocklin, 1971؛ Haghipour, 1977 ساغند است. ناحیه معدنی بافق در بلوک پشت بادام (Kashmar-کرمان بین دو بلوک ساختاری یزد و طبس در ایران مرکزی قرار گرفته است (Ramezani and Tucker, 2003). این محدوده معدنی از مهم‌ترین ایالت‌های فلز‌زایی در ایران به شمار می‌رود که میزان ۳۹ کانسار و اندیس معدنی آهن با ذخیره‌ای حدود دو میلیارد تن کانسنگ آهن است (Daliran, 2002). ذخیره آهن در اغلب کانسارها بین ۱ تا ۴۰۰ میلیون تن متغیر بوده است که کانسارهای چادرملو (۴۰۰ میلیون تن)، چغار (۲۱۶ میلیون تن) و سه‌چاهون (۱۴۰ میلیون تن) بزرگ‌ترین کانسارها را تشکیل می‌دهند (Torab and lehmann, 2006). علاوه بر کانسارهای مگنتیت-آپاتیت، کانسارهای دیگری چون منگنز، سرب-روی، اورانیوم، توریوم و عناصر نادر خاکی وجود دارد (NISCO, 1980; Daliran, 2002; Torab, 2008).

کانی‌سازی مگنتیت-آپاتیت در کانسار چادرملو به صورت دو توده بزرگ مجزاست. یک توده در شمال (گودال رو باز اصلی) و معدن که ۸۰ درصد کل ذخیره سنگ معدن را در بر می‌گیرد) و یک توده کوچک‌تر در جنوب که همبری‌های گسلی و برشی شده با سنگ‌های میزبان متساوی‌متایزه شده متمایل به سبز، همچنین رگه‌های پراکنده مگنتیت-آپاتیت در اکتینولیت‌های دگرسان شده و یا سنگ‌های غنی از آلتی است (Heidarian et al., 2017).

**شکل ۱**-A، نقشه زمین‌شناسی کانسار چادرملو را نشان می‌دهد.

برای سنجش صحت، از نمونه‌های بلاستک برای ارزیابی آلدگی و از نمونه‌های تکراری برای ارزیابی دقت استفاده شد.

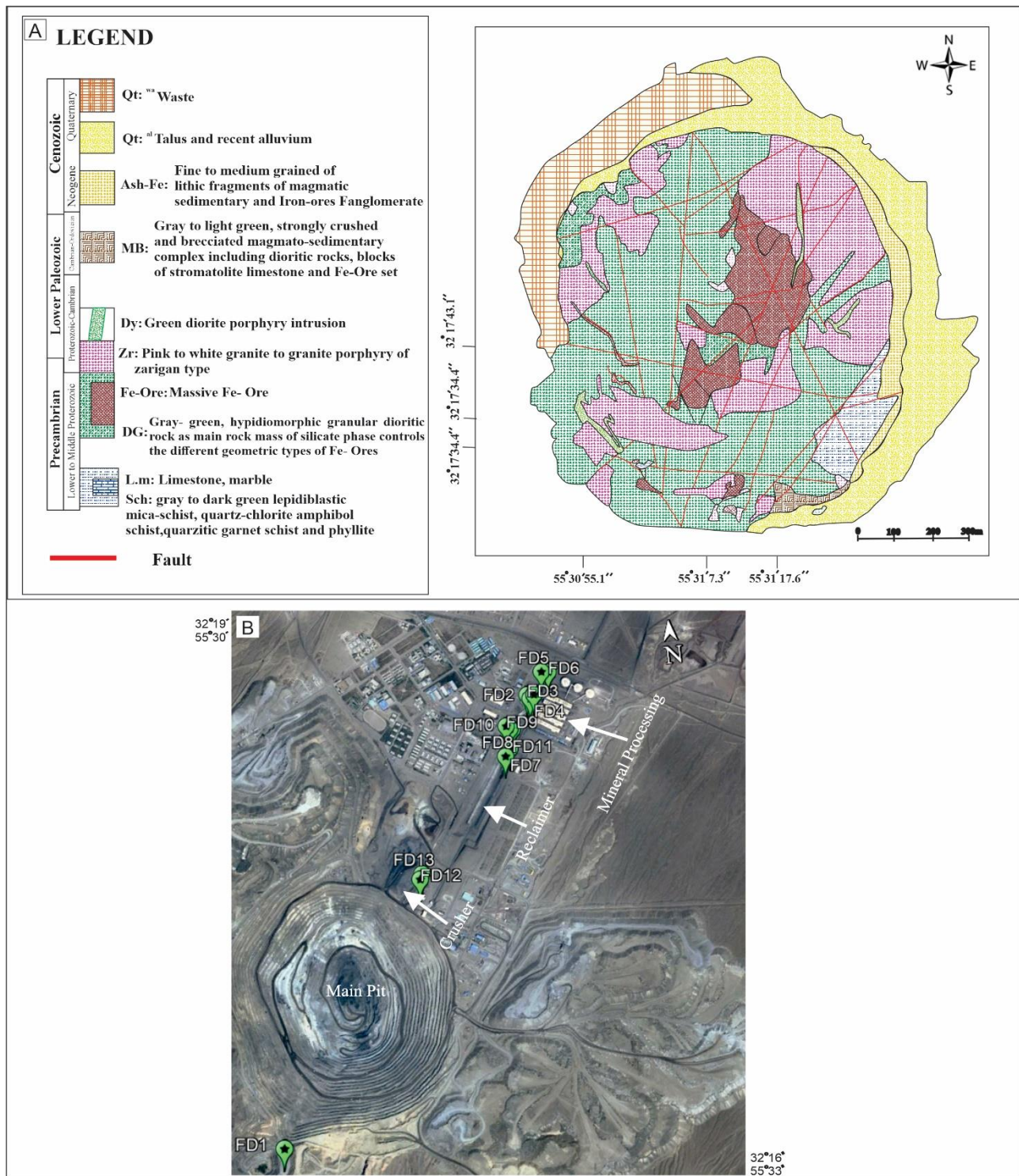
### نتایج و بحث

ارزیابی غلظت عناصر بالقوه سمی در نمونه‌های غبار بر جا غلظت عناصر بالقوه سمی و خلاصه نتایج آمار نمونه‌های غبار و غلظت عناصر در پوسته بالایی (Rudnick and Gao, 2003) در **جدول ۱** آورده شده است. میانگین غلظت آرسنیک، کبالت، کروم، مس، منگنز، مولیبدن، نیکل، سرب، قلع، وانادیوم و روی به ترتیب  $50/8$ ,  $50/4$ ,  $69/8$ ,  $69/3$ ,  $37/6$ ,  $95/1$ ,  $5/9$ ,  $23/2$ ,  $13/1$ ,  $1/1$ ,  $748/1$ ,  $94/9$  و  $94/1$  میلی گرم بر کیلو گرم است. مقایسه میانگین غلظت عناصر بالقوه سمی در نمونه‌های غبار کانسار چادرملو با غلظت عناصر در پوسته بالایی (جدول ۱) نشان می‌دهد، میانگین غلظت عناصر کبالت، نیکل، مس، روی، آرسنیک، مولیبدن، قلع، سرب و وانادیوم بیشتر از مقدار آنها در ترکیب پوسته بالایی است؛ در حالی که برای عناصر کروم و منگنز کمتر از ترکیب پوسته بالایی است. ضریب تغییرات (نسبت انحراف معیار به میانگین) عناصر کبالت، کروم، مس، منگنز، مولیبدن، نیکل، قلع، وانادیوم و روی کمتر از ۱ است (جدول ۱)، که توزیع یکنواخت این عناصر را در نمونه‌های غبار منطقه نشان می‌دهد. عناصر آرسنیک و سرب ضریب تغییرات بیشتر از ۱ را نشان می‌دهند که ممکن است به دلیل تنویر در اندازه و ترکیب ذرات غبار باشد. ترکیب ذرات غبار به ترکیب شیمیایی ماده معدنی، روش فراوری، اندازه ذرات و فاصله ذرات غبار از منبع آلایندگی بستگی دارد (Soltani, 2017). دامنه تغییرات وانادیوم  $10/20$  تا  $165/100$  میلی گرم بر کیلو گرم، منگنز  $210/100$  تا  $1480/100$  میلی گرم بر کیلو گرم، آرسنیک  $3/81$  تا  $366/100$  میلی گرم بر کیلو گرم، روی  $28/60$  تا  $301/100$  میلی گرم بر کیلو گرم، نیکل  $11/100$  تا  $172/100$  میلی گرم بر کیلو گرم و مس  $14/90$  تا  $194/100$  میلی گرم بر کیلو گرم است. زیاد بودن دامنه تغییرات غلظت عناصر می‌تواند ناشی از تأثیر فعالیت‌های انسان‌زاد معدن کاری و فراوری باشد.

### روش مطالعه

#### نمونه‌برداری و تجزیه شیمیایی نمونه‌ها

با توجه به اهداف مورد نظر در این پژوهش که ارزیابی عناصر بالقوه سمی در غبار بر جا معدن آهن چادرملو است و به منظور پیش‌بینی مناطق متأثر از عملیات معدن کاری، پس از بررسی‌های میدانی با توجه به امکان نمونه‌برداری از قسمت‌های مختلف معدن چادرملو و جهت وزش باد غالب در منطقه، در مجموع ۱۳ نمونه غبار بر جا در آذرماه ۱۴۰۲ به وسیله فرچه و خاک‌روبه پلاستیکی برداشت شد (شکل ۱-B). از هر ایستگاه نمونه‌برداری ۵۰۰ گرم غبار از ایستگاه سنجشکن تا کارخانه فراوری جمع آوری و در داخل کیسه‌های زیپ‌دار نایلونی ریخته شد. نمونه‌های جمع آوری شده کدگذاری و تا قبل از ارسال به آزمایشگاه در محیط خشک و خنک نگهداری شدند. ابزارهای نمونه‌برداری در هر ایستگاه بعد از هر نمونه‌برداری با استفاده از آب مقطر و استون شسته و سپس خشک شدند. بعد از انتقال نمونه‌ها به آزمایشگاه رسوب‌شناسی دانشگاه بولی سینا، نمونه‌های غبار در دمای اتاق خشک شده و سپس برای حذف ذرات درشت و مواد زائد از الک ۲ میلی‌متر (۱۰ مش) عبور داده شدند. برای تعیین غلظت عناصر بالقوه سمی در کسر ریزتر از ۲ میلی‌متر ابتدا نمونه‌ها همگن شده و سپس از الک ۲۳۰ مش (۶۳ میکرون) عبور داده شدند. مقدار  $0/5$  گرم از نمونه غبار (۶۳ میکرون) در مخلوطی از  $2$  میلی‌لیتر اسید هیدروفلوئوریک با غلظت  $40$  درصد،  $2$  میلی‌لیتر اسید نیتریک با غلظت  $65$  درصد و  $6$  میلی‌لیتر اسید هیدروکلریک با غلظت  $37$  درصد به روش استاندارد DIN EN 13656: 2021-07 حل شد و در نهایت غلظت عناصر به کمک دستگاه ICP-MS مدل 7850 Agilent در آزمایشگاه Eurofins Umwelt Ost GmbH، فرایبورگ آلمان اندازه گیری شد. حد آشکارسازی دستگاه برای عناصر آرسنیک، کروم، مس، منگنز، مولیبدن، نیکل، سرب و قلع  $2$  میلی گرم بر کیلو گرم، برای عناصر روی و وانادیوم  $4$  میلی گرم بر کیلو گرم و برای عنصر کبالت  $0/4$  میلی گرم بر کیلو گرم است. کنترل کیفی نمونه‌ها با استفاده از **مواد مرجع معتبر**



شکل ۱. A: نقشه زمین‌شناسی ۱:۱۰۰۰ گودال روباز معدن چادرملو (Kani Kavan sharq, 2021) و B: موقعیت ایستگاه‌های نمونه‌برداری

**Fig. 1.** A: The geological map 1:1000 of the open pit of Chadormalu Mine (Kani Kavan sharq, 2021), and B: the locations of sampling sites

**جدول ۱. غلظت و نتایج آمار عناصر در نمونه‌های غبار معدن چادرملو در مقایسه با ترکیب پوسته بالایی (مقادیر غلظت بر حسب mg/kg)****Table 1.** Concentration and statistical results of elements in mineral dust samples of the Chadormalu Mine compared with the composition of the upper crust content (concentration values in mg/kg)

Sample	As	Co	Cr	Cu	Mn	Mo	Ni	Pb	Sn	V	Zn
<b>FD1</b>	15.8	26.5	64.3	54.9	844.0	9.4	64.5	18.2	10.6	374.0	84.1
<b>FD2</b>	37.9	38.8	27.5	101.0	624.0	9.4	159	5.6	20.8	1580.0	46.2
<b>FD3</b>	38.4	41.7	20.5	92.0	597.0	9.1	156	5.7	20.0	1540.0	43.5
<b>FD4</b>	29.0	12.6	35.6	40.7	649.0	1.5	31.6	55.5	13.2	41.1	180.0
<b>FD5</b>	3.8	6.5	11.9	14.9	210.0	1.5	11	65.8	7.2	10.2	55.7
<b>FD6</b>	20.9	34.6	63.4	41.5	656.0	1.5	82.4	20.4	1.5	114.0	154.0
<b>FD7</b>	366.0	29.0	51.5	194.0	1480.0	1.5	51.3	64.2	18.3	61.1	301.0
<b>FD8</b>	13.6	10.4	33.9	20.5	614.0	1.5	26.8	27.5	1.5	42.5	128.0
<b>FD9</b>	34.1	41.3	19.6	51.9	540.0	9.0	142	4.4	21.5	1350.0	31.8
<b>FD10</b>	37.9	40.5	22.2	118.0	597.0	8.7	157	5.9	17.7	1510.0	49.2
<b>FD11</b>	9.8	29.5	42.7	34.8	610.0	4.8	113	4.2	7.4	1060.0	28.6
<b>FD12</b>	15.4	28.7	67.8	50.3	903.0	9.7	68.8	18.2	10.1	393.0	86.6
<b>FD13</b>	38.3	41.9	28.8	92.9	663.0	9.7	172	5.6	20.1	1650.0	45.9
<b>Mean</b>	50.8	29.4	37.6	69.8	691.3	5.9	95.1	23.0	13.1	748.1	94.9
<b>Min</b>	3.8	6.5	11.9	14.9	210.0	1.5	11.0	4.2	1.5	10.2	28.6
<b>Max</b>	366.0	41.9	67.8	194.0	1480.0	9.7	172.0	65.8	21.5	1650.0	301.0
<b>Std.Dev</b>	95.4	12.4	18.7	49.1	286.2	3.8	57.3	23.3	7.2	698.5	78.4
<b>CV</b>	1.8	0.4	0.5	0.7	0.4	0.6	0.6	1.1	0.5	0.9	0.8
<b>Upper crust content<sup>a</sup></b>	4.8	17.3	92.0	28.0	950.0	1.1	47.0	17.0	2.1	97.0	67.0

<sup>a</sup> (Rudnick and Gao, 2003)

سلامت استفاده شد. ضریب زمین‌انباشت توسط مولر (Müller, 1969) برای ارزیابی درجه آلودگی پیشنهادشده است و از رابطه ۱ محاسبه می‌شود:

$$I_{geo} = \log_2(C_n / 1.5B_n)$$

ارزیابی کمی آلودگی غبار برجا به عناصر بالقوه سمی در این پژوهش، برای ارزیابی میزان آلودگی نمونه‌های مورد بررسی به عناصر بالقوه سمی از ضریب زمین‌انباشت، ضریب غنی‌شدگی، شاخص بار آلودگی، پتانسیل خطر بوم‌شناختی، شاخص آلودگی تک عاملی و یکپارچه نمرو و شاخص خطر

آلوده و نسبت به عناصر کروم (۱۱/۰۲)، منگنز (۱۸/۵۹)، کبالت (۸/۴۱)، نیکل (۱۱/۳۳)، مس (۹/۹۲)، روی (۱۱/۲۸)، آرسنیک (۶/۵۳)، سرب (۷/۶۸) و وانادیوم (۱۴/۶۳) در رده به شدت آلوده قرار می‌گیرند. بنابراین، منشأ آلودگی در منطقه کانی زایی آهن به طور طبیعی است و تشید آلودگی‌ها به دلیل فعالیت‌های انسان‌زاد (معدن‌کاری و فراوری سنگ آهن) است.

که در آن  $C_n$  و  $B_n$  به ترتیب غلظت عنصر در نمونه و ماده زمینه و ضریب ۱/۵ ضریب تصحیح تغییرات ناشی از اثر لیتوسفر است (Müller, 1979). در این بررسی، از ترکیب پوسته بالایی (Rudnick and Gao, 2003) به عنوان مقدار زمینه استفاده شد. بر اساس این شاخص (جدول ۲)، نمونه‌های غبار مورد بررسی نسبت به عنصر مولیبدن (۲/۶۸) در رده آلودگی متوسط تا خیلی آلوده، نسبت به عنصر قلع (۴/۲۰) در رده خیلی آلوده تا به شدت

**جدول ۲.** شدت آلودگی نمونه‌های غبار بر جا معدن چادرملو بر اساس رده‌بندی ضریب زمین انباشت (Adamu et al., 2015)

**Table 2.** The pollution level of the Chadormalu Mine mineral dust samples based on the classification of Geoaccumulation Index (Adamu et al., 2015)

I <sub>geo</sub> class	I <sub>geo</sub> value	Pollution level	Elements
0	$I_{geo} \leq 0$	Practically unpolluted	-
1	$0 < I_{geo} \leq 1$	Slightly polluted	-
2	$1 < I_{geo} \leq 2$	Moderately polluted	-
3	$2 < I_{geo} \leq 3$	Moderately to strongly polluted	Mo
4	$3 < I_{geo} \leq 4$	Strongly polluted	-
5	$4 < I_{geo} \leq 5$	Strongly to very strong polluted	Sn
6	$I_{geo} > 5$	Very strong polluted	Cr, Mn, Co, Ni, Cu, Zn, As, Pb, V

در این بررسی از ترکیب پوسته بالایی (Rudnick and Gao, 2003) به عنوان محیط مرجع و از عنصر آهن به عنوان عنصر مرجع استفاده شد؛ زیرا آهن معمولاً غلظت طبیعی نسبتاً بالایی دارد و انتظار نمی‌رود که به طور قابل توجهی از منابع انسان‌زاد غنی‌شود (Niencheski et al., 1994). ضریب غنی‌شدگی بین ۰/۵ تا ۱/۲ منشأ طبیعی و ضرایب بیشتر از ۲ (Hernandez et al., 2003) و یا بیشتر از ۳ (Eby, 2004) منشأ انسان‌زاد را نشان می‌دهند. جدول ۳ رده‌بندی ضریب غنی‌شدگی را نشان می‌دهد (Loska and Wiechula, 2003).

ضریب غنی‌شدگی نشان‌دهنده مقدار افزایش غلظت یک عنصر نسبت به منشأ طبیعی آن (پوسته، سنگ‌بستر یا خاک) است. ضریب غنی‌شدگی به طور گستردگی برای تعیین منشأ آلاینده‌ها در هوای غبار، بارش و سایر نمونه‌های محیطی استفاده (Reimann and DeCaritat, 2000; Sucharovà et al., 2012) و از رابطه تعیین می‌شود (Liu et al., 2014) :

$$EF = (C_i/C_r)_{Sample}/(C_i/C_r)_{Baseline}$$

در این رابطه،  $C_i$  غلظت عنصر i و  $C_r$  غلظت عنصر مرجع است.

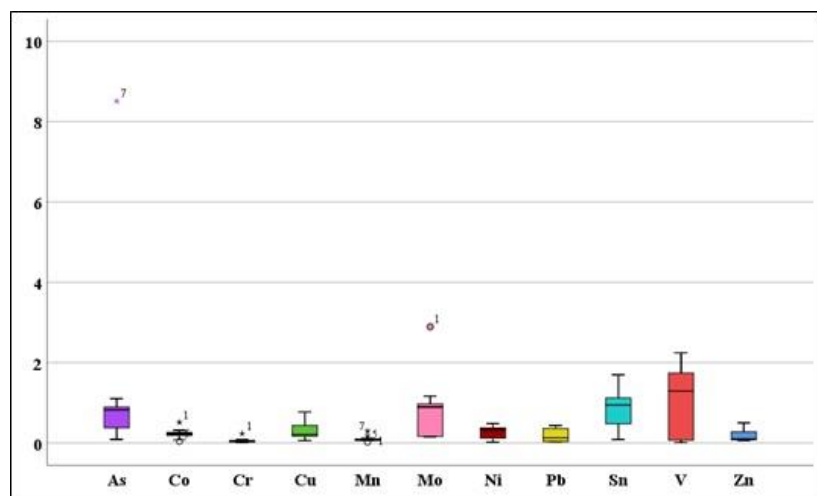
## جدول ۳. ردهبندی ضریب غنی شدگی نمونه های غبار بر جا معدن چادرملو (Loska and Wiechula, 2003)

Table 3. Classification of Enrichment Index of the Chadormalu Mine mineral dust samples (Loska and Wiechula, 2003)

EF class	Enrichment level
EF < 2	Deficiency to minimal enrichment
EF= 2-5	Moderate enrichment
EF= 5-20	Significant enrichment
EF= 20-40	Very high enrichment
EF > 40	Extremely high enrichment

(EF) عنصر آرسنیک مقدار غنی شدگی قابل توجهی را نشان می دهد. این نتایج نشان دهنده منشأ زمین زاد برای عناصر مورد بررسی در منطقه است.

با توجه به نتایج به دست آمده (شکل ۲)، نمونه های غبار مورد بررسی نسبت به عناصر بالقوه سمی آرسنیک، کبات، کروم، مس، نیکل، منگنز، مولیبدن، نیکل، سرب، روی، قلع و وانادیوم، کمبود تا کمترین غنی شدگی را نشان می دهند. ایستگاه FD7 = ۸/۵



شکل ۲. مقادیر ضریب غنی شدگی عناصر در نمونه های غبار بر جا معدن چادرملو

Fig. 2. Enrichment factor values for the elements in mineral dust samples of the Chadormalu Mine

که RI شاخص خطر اکولوژیکی بالقوه مجموع عناصر،  $E_r^i$  شاخص خطر بالقوه اکولوژیکی هر عنصر مورد بررسی،  $T_r^i$  شاخص سمی بودن عناصر (Xu et al., 2008; Yuan et al., 2014; Wang et al., 2020

در این بررسی، شاخص خطر اکولوژیکی بالقوه با استفاده از رابطه محاسبه شد (Zhang et al., 2018) رابطه ۳:

$$RI = \sum_i^m E_r^i = \sum_i^m T_r^i \times \left( \frac{C_i}{C_n^i} \right)$$

جنوب شرقی گودال روباز اصلی معدن)، FD3، FD4، FD5 و FD6 (کارخانه فراوری)، FD8، FD9 و FD11 (ایستگاه ریکلایمر) و FD12 (ایستگاه سنگ شکن، اولین ایستگاهی که سنگ آهن از معدن استخراج و برای خردایش اولیه به این ایستگاه منتقل می شود) شاخص خطر اکولوژیکی کم دارند. ایستگاه FD2 (کارخانه فراوری)، FD10 (ایستگاه ریکلایمر) و FD13 (ایستگاه سنگ شکن) دارای خطر اکولوژیکی متوسط بوده و ایستگاه FD7 (ایستگاه ریکلایمر) دارای شاخص خطر زیاد است؛ به طوری که بیشترین مقدار آلودگی و خطر اکولوژیکی بالقوه در ایستگاه مشاهده شده است. FD7

$C_i$  غلظت عنصر اندازه گیری شده در نمونه غبار مورد بررسی،  $C_n^i$  غلظت عنصر مورد نظر در زمینه را نشان می دهد. در این بررسی از غلظت عناصر در پوسته بالایی به عنوان عنصر مرجع استفاده شد. رده بندی شاخص خطر اکولوژیکی و موقعیت عناصر مورد بررسی در [جدول ۴](#) ارائه شده است. بر اساس نتایج ([شکل ۳-A](#))، در تمام ایستگاه های نمونه برداری عناصر کروم، منگنز، نیکل، مس، سرب، وانادیوم و روی خطر اکولوژیکی کم را نشان می دهند. آرسنیک خطر اکولوژیکی متوسط را در منطقه مورد بررسی نشان می دهد. بر اساس مقادیر شاخص خطر اکولوژیکی بالقوه مجموع عناصر ([شکل ۳-B](#))، ایستگاه های نمونه برداری FD1 (توده

**جدول ۴.** شدت خطر نمونه های غبار برجا معدن چادرملو بر اساس رده بندی شاخص خطر اکولوژیکی بالقوه ([Hakanson, 1980](#))

**Table 4.** The hazard level of the Chadormalu Mine mineral dust samples on the basis of the classification of the Potential Ecological Risk ([Hakanson, 1980](#))

$E_r^i$	Risk level	Elements	RI	Risk level	Elements
$E_r^i < 40$	Low risk	Cr, Mn, Ni, Cu, Zn, Pb, V	$RI < 150$	Low risk	Cr, Mn, Ni, Pb, Zn
$40 \leq E_r^i < 80$	Moderate risk	As	$150 \leq RI < 300$	Moderate risk	Cu, V
$80 \leq E_r^i < 160$	Considerable risk	-	$300 \leq RI < 600$	Considerable risk	-
$160 \leq E_r^i < 320$	Very high risk	-	$RI \geq 600$	Very high risk	As
$E_r^i \geq 320$	Dangerous	-			

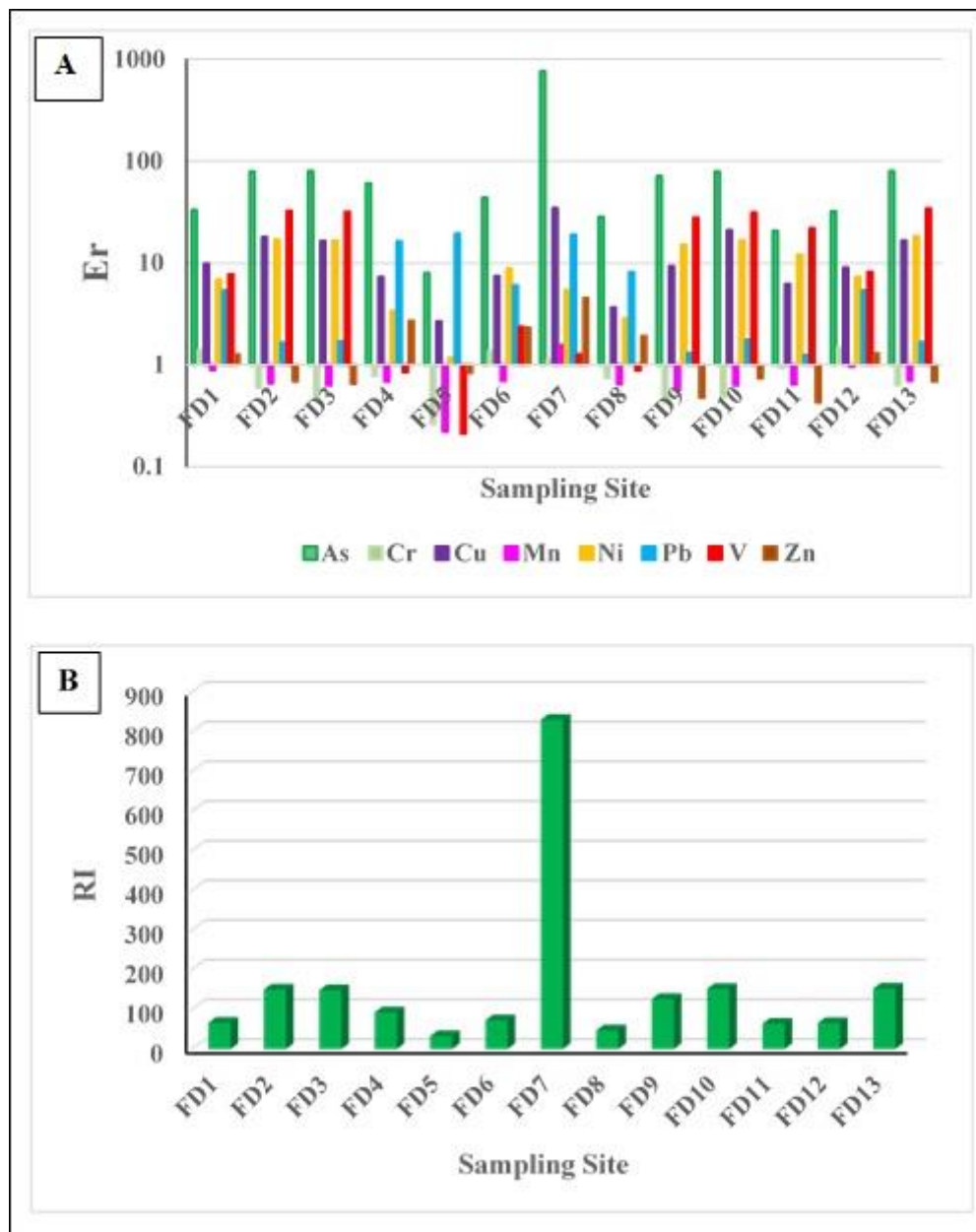
Zhang et al., 2018 عاملی و موقعیت عناصر مورد بررسی را نشان می دهد ().

بر اساس این رده بندی، نمونه های غبار معدن چادرملو نسبت به عناصر کروم، منگنز و روی بدون آلودگی، نسبت به عناصر کبات، نیکل، مس و سرب در رده آلودگی کم تا متوسط و نسبت به عناصر آرسنیک، مولیبدن، وانادیوم و قلع در رده آلودگی شدید تا بسیار شدید قرار می گیرند ([شکل ۴](#)).

برای ارزیابی سطح آلودگی عناصر بالقوه سمی از شاخص آلودگی تک عاملی استفاده می شود. این شاخص با استفاده از رابطه ۴ محاسبه می شود ([Baishan et al., 2023](#)):

$$P_i = C_i / S_i$$

در این رابطه  $C_i$  و  $S_i$  به ترتیب غلظت عنصر در نمونه غبار و غلظت زمینه (غلظت عناصر در پوسته بالایی ([Rudnick and Gao, 2003](#)) است. [جدول ۵](#) رده بندی شاخص آلودگی تک



شکل ۳. A: مقادیر شاخص خطر اکولوژیکی (Er) عناصر و B: شاخص خطر اکولوژیکی بالقوه مجموع عناصر (RI) در نمونه‌های غبار برجا معدن چادرملو

**Fig. 3.** (A): The values of Ecological Risk Index (Er) of the elements, and B The Potential Ecological Risk Index of the total elements (RI) in the mineral dust samples of the Chadormalu Mine

شاخص آلدگی یکپارچه نمرو ابزار مفیدی برای ارزیابی خطر رابطه ۵:

$$NIPI = \sqrt{(P_{i\max}^2 + P_{i\text{ave}}^2)/2}$$

زیست محیطی آلاندنه هاست. این شاخص با استفاده از رابطه ۵ محاسبه می شود (Sawut et al., 2018)

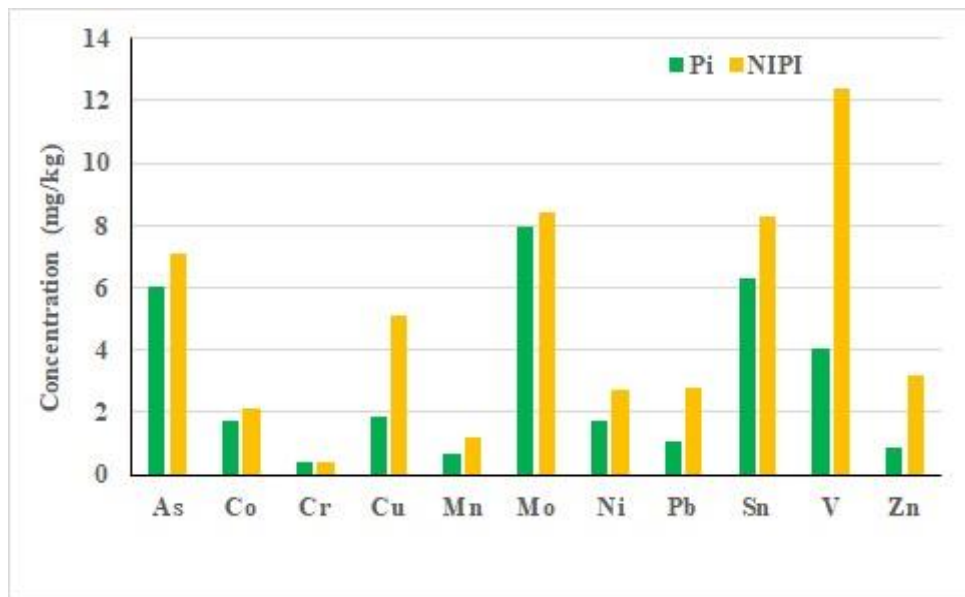
عنصر کروم در رده بدون آلودگی، عنصر منگنز در رده آلودگی کم، عناصر کبالت، نیکل و سرب در رده آلودگی متوسط و عناصر مس، روی، آرسنیک، مولیبدن، قلع و وانادیوم در رده آلودگی شدید قرار می‌گیرند.

در این رابطه، NIPI شاخص آلودگی یکپارچه نمرو و Pi شاخص آلودگی تک عاملی هر عنصر است. رده‌بندی مقادیر شاخص آلودگی یکپارچه نمرو و موقعیت عناصر در [جدول ۵](#) ارائه شده است ([Sawut et al., 2018](#))، بر اساس این شاخص ([شکل ۴](#))،

**جدول ۵.** رده‌بندی شاخص آلودگی تک عاملی ([Zhang et al., 2018](#)) و شاخص آلودگی یکپارچه نمرو ([Sawut et al., 2018](#)) در نمونه‌های غبار برجا معدن چادرملو

**Table 5.** The classification of the Pollution Index ([Zhang et al., 2018](#)) and the Nemerow Integrated Pollution Index ([Sawut et al., 2018](#)) for the mineral dust samples of the Chadormalu Mine

Pi	Pollution level	Elements	NIPI	Pollution level	Elements
$Pi \leq 1$	Uncontaminated	Cr, Mn, Zn	$NIPI \leq 0.7$	Clean (safe level)	Cr
$1 < Pi \leq 2$	Low to moderately contaminated	Co, Ni, Cu, Pb	$0.7 < NIPI \leq 1$	Warning limit	-
$2 < Pi \leq 3$	Moderate to heavily contaminated	-	$1 < NIPI \leq 2$	Slight pollution	Mn
$Pi > 3$	Heavy to extremely contaminated	As, Mo, V, Sn	$2 < NIPI \leq 3$ $NIPI > 3$	Moderate pollution Heavy pollution	Co, Ni, Pb Cu, Zn, As, Mo, Sn, V



شکل ۴. مقادیر شاخص آلودگی تک عاملی (Pi) و یکپارچه نمرو (NIPI) عناصر در نمونه‌های غبار برجا معدن چادرملو

**Fig. 4.** The values of single Factor Pollution Index (Pi) and the Nemerow Integrated Pollution Index (NIPI) of the elements in the mineral dust samples of the Chadormalu Mine

در [جدول ۶](#) مقادیر مرتبط با هر مؤلفه ارائه شده است. خطر غیرسرطانزایی عناصر و شاخص خطر از طریق رابطه‌های ۹ و ۱۰ محاسبه می‌شود ([Hossen et al., 2021](#)):

رابطه ۹:

$$HQ = \frac{ADD}{RfD}$$

رابطه ۱۰:

$$HI = \sum HQ = HQ_{ing} + HQ_{inh} + HQ_{derm}$$

که در آن، HQ ضریب خطر غیرسرطانزایی برای خردسالان و بزرگسالان و RfD بیشترین دوز قابل قبول در معرض قرار گیری روزانه است. مقادیر این مؤلفه برای عناصر مختلف در [جدول ۷](#) ارائه شده است. شاخص خطر (HI) شامل مجموع مقادیر HQ عناصر مناسبی برای ارزیابی خطر کلی غیرسرطانزایی برای بیش از یک ماده سمی استفاده می‌شود. اگر  $1 < HQ, HI < 1$  باشد، نشان‌دهنده عدم بروز اثرات سلامتی غیرسرطانی و  $1 > HQ, HI$  نشان‌دهنده بروز اثرات غیرسرطانی است ([Ying et al., 2016](#)).

### ارزیابی خطر سلامتی

روش ارزیابی خطر سلامت، هم برای بزرگسالان و هم برای کودکان، با استفاده از مدل ارائه شده توسط سازمان حفاظت محیط زیست ایالت متحده که معمولاً برای ارزیابی خطر سرطانزایی و USEPA، [\(2001\)](#) غیرسرطانزایی استفاده می‌شود، به کار گرفته شد (). بر اساس عوامل در معرض قرار گیری، میانگین دوز دریافتی روزانه (ADD) ( $mg\cdot kg^{-1}\cdot day^{-1}$ ) یک عنصر از طریق بلع غبار (ADD<sub>ing</sub>)، استنشاق (ADD<sub>inh</sub>) و تماس پوستی (ADD<sub>dermal</sub>) را می‌توان به ترتیب با استفاده از رابطه‌های ۷ و ۸ محاسبه کرد ([USEPA, 1997](#)):

رابطه ۷:

$$ADD_{ing} = \frac{C_n \times IngR \times EF \times ED}{BW \times AT} \times CF$$

رابطه ۷:

$$ADD_{inh} = \frac{C_n \times InhR \times EF \times ED}{PEF \times BW \times AT}$$

رابطه ۸:

$$ADD_{dermal} = \frac{C_n \times SA \times AF \times ABS \times EF \times ED}{BW \times AT} \times CF$$

**جدول ۶.** مؤلفه‌های مورد استفاده در تخمین میانگین دوز دریافتنی روزانه برای خطر سرطانزایی و غیرسرطانزایی در نمونه‌های غبار بر جا معدن چادرملو

([USEPA, 2002](#); [Huang et al., 2019](#))

**Table 6.** The parameters used in estimating average daily dose for carcinogenic and non-carcinogenic risk in mineral dust samples of the Chadormalu Mine ([USEPA, 2002](#); [Huang et al., 2019](#))

Factor	Description	Unit	Value	
			Adult	Children
C <sub>n</sub>	Concentration of Heavy Metals	mg/kg	-	-
IngR	Ingestion Rate	mg/day	100	200
InhR	Inhalation Rate	m <sup>3</sup> /day	16.2	7.5
EF	Exposure Frequency	days/year	350	350
ED	Exposure Duration	years	30	6
BW	Body Weight	kg	62.4	21.2
PEF	Particle Emission Factor	m <sup>3</sup> /kg	$1.36 \times 10^9$	$1.36 \times 10^9$
AT	Average Time	day	$365 \times ED$	$365 \times ED$
SA	ExposedSkin area	cm <sup>2</sup>	1600	899
AF	Adherence Factor	(mg/(cm <sup>2</sup> /d))	0.07	0.20
CF	Conversion Factor	kg.mg <sup>-1</sup>	$1 \times 10^{-6}$	$1 \times 10^{-6}$
ABS	Dermal Absorption Factor	non-dimensional	Pb = Ni = Cu = 0.01; As = 0.03; Cr = Zn = 0.001	

هیچ خطر غیرسرطان‌زایی عناصر بالقوه سمی در نمونه‌های غبار برای بزرگسالان و خردسالان در منطقه مورد بررسی وجود ندارد.

نتایج به دست آمده از ارزیابی خطر سلامت و مقادیر HQ نشان می‌دهد، خطر غیرسرطان‌زایی عناصر بالقوه سمی نیکل، مس، روی و سرب برای بزرگسالان و خردسالان کمتر از ۱ است؛ بنابراین

**جدول ۷. دوزهای مرجع (SF) و عامل شیب (RfD) مورد استفاده برای خطر سرطان‌زایی و غیرسرطان‌زایی عناصر در نمونه‌های غبار بر جا معدن چادرملو (Zheng et al., 2010; Yang et al., 2021; Hini et al., 2020)**

**Table 7.** The reference dose (RfD) and Slope Factor (SF) for the calculation of carcinogenic and non- carcinogenic risks of the elements in mineral dust samples of the Chadormalu Mine (Zheng et al., 2010; Yang et al., 2021; Hini et al., 2020)

Route	As	Cr	Cu	Ni	Pb	Zn
RfD <sub>ing</sub>	$3.00 \times 10^{-4}$	$3.00 \times 10^{-3}$	$4.00 \times 10^{-2}$	$2.00 \times 10^{-2}$	$3.50 \times 10^{-3}$	$3.00 \times 10^{-1}$
RfD <sub>inh</sub>	$1.23 \times 10^{-4}$	$2.86 \times 10^{-5}$	$4.00 \times 10^{-2}$	$2.00 \times 10^{-2}$	$3.52 \times 10^{-3}$	$3.00 \times 10^{-1}$
RfD <sub>dermal</sub>	$3.00 \times 10^{-4}$	$6.00 \times 10^{-5}$	$1.20 \times 10^{-2}$	$5.40 \times 10^{-3}$	$5.25 \times 10^{-4}$	$6.00 \times 10^{-2}$
SF <sub>ing</sub>	1.50	0.50	-	-	-	-
SF <sub>inh</sub>	$4.3 \times 10^{-3}$	42.0	-	$8.40 \times 10^{-1}$	-	-
SF <sub>dermal</sub>	1.50	2.0	-	-	-	-

برای عناصر مورد بررسی از مسیرهای تنفس و تماس پوستی، برای هر دو گروه بزرگسالان و خردسالان وجود ندارد. بنابراین، خطر غیرسرطان‌زایی آلودگی عناصر بالقوه سمی برای خردسالان در ناحیه مورد بررسی بیشتر از بزرگسالان است و بیشتر As عامل خطر اصلی برای بزرگسالان و خردسالان است.

بر اساس مقادیر HI، خطر سلامتی غیرسرطان‌زایی برای بزرگسالان و خردسالان از طریق مسیر بلعیدن وجود دارد. مقدار HQ و HI تمام عناصر مورد بررسی، برای هر دو گروه بزرگسالان و خردسالان، از طریق مسیر تنفسی و تماس پوستی کمتر از ۱ است (جدول ۸ و شکل ۵) و بنابراین هیچ‌گونه خطر غیرسرطان‌زایی

**جدول ۸. نتایج ارزیابی خطر سلامتی عناصر بالقوه سمی در نمونه‌های غبار بر جا معدن چادرملو**

**Table 8.** The estimated results of health risk assessment for the potentially toxic elements in the mineral dust samples of the Chadormalu Mine

Element	Adults					Children				
	HQ <sub>ing</sub>	HQ <sub>inh</sub>	HQ <sub>derm</sub>	HI	TCR	HQ <sub>ing</sub>	HQ <sub>inh</sub>	HQ <sub>derm</sub>	HI	TCR
As	3.3857	0.0009	0.1137	3.5005	0.0015	19.9313	0.0013	0.5375	20.4702	0.0092
Cr	0.2508	0.0031	0.0140	0.2680	0.0003	1.4766	0.0042	0.0663	1.5472	0.0022
Cu	0.0348	4.15E-06	0.0013	0.0361	-	0.2052	5.65E-06	0.0061	0.2113	-
Ni	0.0949	1.09E-05	0.0039	0.0988	1.89E-07	0.5587	1.49E-05	0.0186	0.5774	2.58E-07
Pb	0.1323	1.56E-05	0.0009	0.1333	-	0.7791	2.13E-05	0.0046	0.7838	-
Zn	0.0063	7.53E-07	3.54E-05	0.0063	-	0.0372	1.02E-06	0.0001	0.0373	-

قابل  $10^{-4} \times 10^{-4}$  تا  $10^{-4} \times 10^{-6}$  است. چنانچه  $10^{-4} < 10^{-6}$  است. خطر سرطان را می‌توان نادیده گرفت؛ اما زمانی که  $10^{-4} > CR, TCR$  باشد، خطر سرطان را می‌توان نادیده گرفت؛ اما زمانی که  $CR, TCR >$  باشد، نشان می‌دهد که خطر سرطان‌زایی بالقوه زیادی وجود دارد و باید اقدام‌های لازم برای کاهش خطر انجام شود (Ying et al., 2016). بر اساس نتایج به دست آمده (جدول ۷)، برای عنصر آرسنیک، خطر سرطان‌زایی در بزرگسالان و خردسالان از طریق مسیر بلعین وجود دارد. عنصر کروم، از طریق مسیر بلع برای خردسالان دارای خطر سرطان‌زایی است.

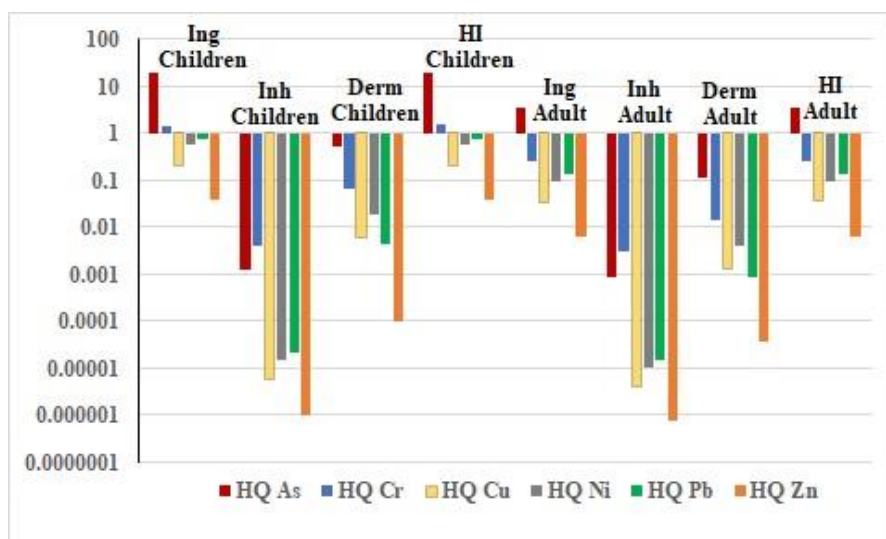
خطر سرطان‌زایی برای هر فرد را می‌توان با رابطه ۱۱ ارزیابی نمود (Hossen et al., 2021) :

رابطه ۱۱:

$$CR = ADD \times SF$$

$$TCR = CR_{ing} + CR_{inh} + CR_{derm}$$

که در آن، CR نشان‌دهنده خطر سرطان‌زایی و SF عامل شیب سرطان‌زایی (mg.kg.day) است. بیشینه خطر سرطان‌زایی قابل



شکل ۵. مقادیر ضرب خطر و شاخص خطر عناصر در نمونه‌های غبار بر جا معدن چادرملو

**Fig. 5.** The values of Hazard Quotient (HQ) and Hazard Index (HI) for the elements in the mineral dust samples of the Chadormalu Mine

برده می‌شود (Reimann et al., 2002). در این بررسی از چرخش واریماکس برای به حداقل رساندن تعداد متغیرها با بارگذاری بالا در هر مؤلفه و تسهیل تفسیر نتایج استفاده شد. عوامل استخراج شده بر اساس مقادیر ویژه بزرگتر از ۱ بوده و با چرخش واریماکس با نرم‌افزار اسیون Kaiser ساده‌تر شده است. نمودار خوش‌های نیز روشی مناسب برای طبقه‌بندی تعدادی از متغیرهای اندازه‌گیری شده یا نمونه‌ها به گروه‌هایی است که دارای ویژگی‌ها و رفتار مشابه هستند (Kaufman and Rousseeuw,

### تعیین منشأ عناصر با استفاده از تحلیل‌های آماری

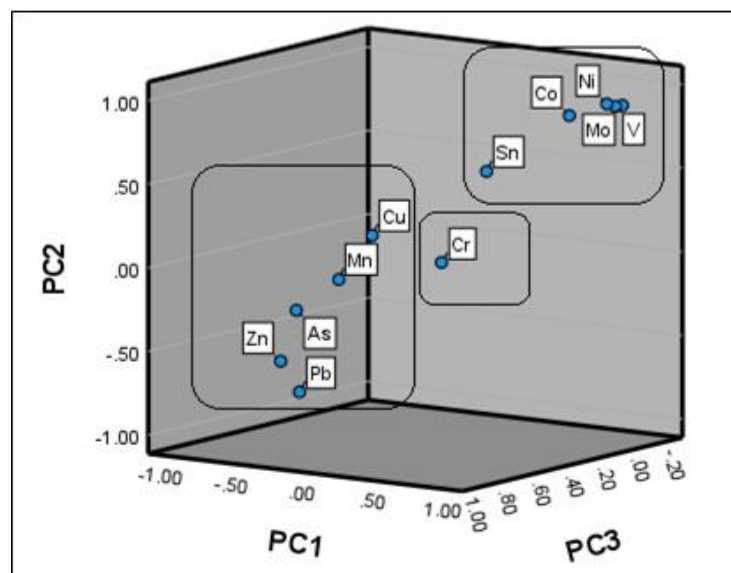
در بررسی‌های زیستمحیطی ارتباط آماری بین متغیرها می‌تواند اطلاعاتی مناسب در مورد مسیر آلاینده‌ها در محیط ارائه دهد. روابط بین عنصری می‌تواند اطلاعاتی در مورد منابع عناصر و رخداد فرایندهای مشابه که ممکن است بر رفتار عناصر حاکم باشد، ارائه دهد (Wang and Qin, 2006). تحلیل مؤلفه اصلی برای تعیین ارتباط بین متغیرها با هدف کاهش ابعاد و توضیح تغییرات در داده‌های چند متغیره با کمترین عوامل ممکن به کار

نیکل بیشتر در کانی‌های سولفیدی مانند پیریت و پیروتیت به مقدار کم دیده می‌شوند (Rusk et al., 2010). عنصر وانادیوم بیشتر در مگنتیت و به مقدار کمتر در کانی‌های هماتیت و اپیدوت وجود دارد. برخی از فازهای آهن‌دار مانند مگنتیت، هماتیت و اپیدوت عموماً حاوی مقادیر جزئی آرسنیک، کبالت، نیکل و وانادیوم هستند (Barton, 2014). نتایج حاصل از تحلیل مؤلفه اصلی تا حدودی با شاخص زمین انباشت مطابقت دارد؛ زیرا عناصر کبالت، نیکل، مولیبدن و وانادیوم از کانی‌سازی طبیعی سنگ آهن در منطقه و همچنین منابع انسان‌زاد مانند فعالیت‌هایمعدنی و فراوری و دفع نامناسب باطله منشأ گرفته‌اند. عناصر مؤلفه دوم ۳۱/۴۵ درصد از واریانس کل شامل مس، منگنز، آرسنیک و روی را توضیح می‌دهد. مس می‌تواند مربوط به کانی‌های سولفیدی مانند Dabiri et al., (2017) در مؤلفه سوم عنصر کروم با مقدار واریانس ۱۶/۲۳ درصد قرار می‌گیرد.

نیکل بیشتر در کانی‌های سولفیدی مانند پیریت و پیروتیت به مقدار کم دیده می‌شوند (Rusk et al., 2010). عنصر وانادیوم بیشتر در مگنتیت و به مقدار کمتر در کانی‌های هماتیت و اپیدوت وجود دارد. برخی از فازهای آهن‌دار مانند مگنتیت، هماتیت و اپیدوت عموماً حاوی مقادیر جزئی آرسنیک، کبالت، نیکل و وانادیوم هستند (Barton, 2014). نتایج حاصل از تحلیل مؤلفه اصلی برای نمونه‌های غبار نشان می‌دهد (Garcia et al., 2004) که نشان‌دهنده منشأ یکسان آزادسازی این عناصر است و می‌تواند به تفاوت در غلظت و همچنین رفتار زمین‌شیمیایی آنها و منشأ سنگ‌شناسی نسبت داده شود.

**جدول ۹.** نتایج تحلیل مؤلفه اصلی عناصر در نمونه‌های غبار معدن چادرملو  
**Table 9.** Results of principal component analysis on elements in the mineral dust samples of the Chadormalu Mine

Rotated matrix	component		
Parameters	PC1	PC2	PC3
As	-0.185	<b>0.962</b>	0.006
Co	<b>0.920</b>	0.254	0.004
Cr	-0.078	0.174	<b>0.970</b>
Cu	0.302	<b>0.919</b>	-0.121
Mn	-0.009	<b>0.855</b>	0.486
Mo	<b>0.897</b>	-0.087	-0.005
Ni	<b>0.942</b>	0.046	-0.251
Pb	-0.897	0.333	-0.133
Sn	<b>0.612</b>	0.492	-0.316
V	<b>0.903</b>	-0.039	-0.402
Zn	-0.592	<b>0.708</b>	0.293
% Variance	45.57	31.45	16.23
Cumulative %	45.57	77.03	93.26

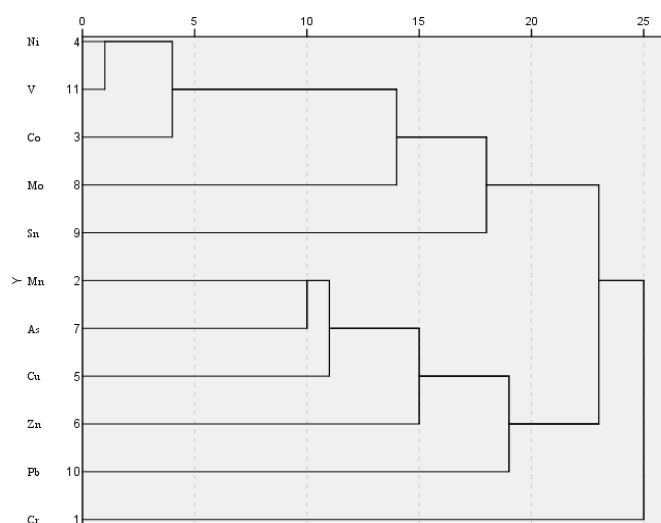


شکل ۶. نمودار سه بعدی مؤلفه‌های استخراج شده نمونه‌های غباربرجا معدن چادرملو

**Fig. 6.** 3d plot of the extracted principal components of the Chadormalu Mine mineral dust

دوم شامل عناصر مس، آرسنیک، منگنز، روی و سرب است که عنصر سرب در این خوش نسبت به سایر عناصر در فاصله دورتری قرار گرفته است. خوش دوم نیز تنها شامل فلز کروم است که نتایج حاصل از تحلیل مؤلفه اصلی را تأیید می‌کند.

نمودار تحلیل خوش‌های عناصر بالقوه سمی در [شکل ۷](#) نشان داده شده است. بر این اساس، نمودار شامل دو خوش اصلی است. زیر خوش اول شامل دو زیر‌گروه اصلی است: زیر‌گروه اول شامل عناصر نیکل، وانادیوم، کبالت، مولیبدن و قلع است و می‌توان نتیجه‌گیری کرد که این عناصر دارای منشأ یکسان هستند. زیر‌گروه



شکل ۷. نمودار خوش‌های عناصر بالقوه سمی در نمونه‌های غبار برجا منطقه مورد بررسی

**Fig. 7.** The cluster analysis of potentially toxic elements in the mineral dust samples of studied area

## نتیجه‌گیری

عنصر آرسنیک عامل خطر اصلی است. بنابراین با ورود این عناصر سمی به بدن از راه تنفس، بلعیدن و تماس پوستی می‌توانند به جریان خون و اندام‌های هدف رفته و باعث سمناکی این اندام‌ها شوند. نتایج به دست آمده از شاخص‌های آلدگی در منطقه مورد بررسی نشان می‌دهد، آلدگی عناصر بالقوه سمی بیشتر ناشی از کانی‌سازی سنگ آهن طبیعی و انتشار ناشی از فعالیت‌های فراوری سنگ آهن و باطله است که به افزایش خطرات بالقوه برای سلامت انسان و محیط‌زیست منجر می‌شود.

## قدردانی

از همکاری شرکت صنعتی و معدنی چادرملو به ویژه جناب آقای مهندس محمودی کمال تشكر را داریم. نویسنده‌گان مقاله از پروفسور ماینهولد از دانشگاه فرایبورگ آلمان برای انجام تجزیه‌های زمین‌شیمیایی تقدیر و تشکر می‌نمایند. همچنین از هیئت تحریریه محترم نشریه زمین‌شناسی اقتصادی و داوران گرامی قدردانی می‌شود.

## تعارض منافع

هیچ‌گونه تعارض منافع توسط نویسنده‌گان بیان نشده است.

در این پژوهش، ارزیابی شدت آلدگی ذرات غبار برجا به عناصر بالقوه سمی (کروم، منگنز، کبالت، نیکل، مس، روی، آرسنیک، مولیبدن، سرب، قلع و وانادیوم)، تعیین منشأ این عناصر و خطر سلامت ناشی از قرار گیری در معرض غبار آلدده در معدن آهن چادرملو، شمال شرق یزد مورد بررسی قرار گرفت. بررسی غلظت کل عناصر سمی در نمونه‌های غبار برجا معدن آهن چادرملو نشان می‌دهد، میانگین غلظت عناصر کبالت، نیکل، مس، روی، آرسنیک، مولیبدن، قلع، سرب و وانادیوم نسبت به میانگین غلظت عناصر در پوسته بالای غنی‌شدگی دارند؛ در حالی که عناصر کروم و منگنز غنی‌شدگی نشان نمی‌دهند؛ زیرا کانسارهای غنی از مگنتیت به طور کلی از کروم و منگنز تهی و از عناصری مانند کبالت و نیکل غنی هستند. محاسبه ارزیابی خطر بالقوه زیست‌محیطی در نمونه‌های غبار برجا نشان می‌دهد ذرات غبار مورد بررسی نسبت به آرسنیک دارای خطر اکولوژیکی بسیار زیاد هستند. نتایج حاصل از ارزیابی خطر سلامتی، بیانگر خطر سرطان‌زاوی از این عناصر برای بزرگسالان و خردسالان و عنصر کروم برای خردسالان از طریق مسیر بلعیدن است. خطر غیرسرطان‌زاوی از این عناصر برای خردسالان بیشتر از بزرگسالان است و

1. Cambrian Volcanosedimentary unit, CVSU
2. Certified Reference Materials, CRMs

## References

- Adamu, C.I., Nganje, T.N. and Edet, A.E., 2015. Major and trace elements pollution of sediments associated with abandoned barite mines in parts of Oban massif and Mamfe embayment, SE Nigeria. *Journal of Geochemical Exploration*, 151: 17–33.  
<https://doi.org/10.1016/j.gexplo.2014.12.010>
- Baishan, K., Wang, X., Huang, X. and Eziz, M., 2023. Health Risk Assessment and Source Analysis of Toxic Element Pollution In Cultivated Soils of the Weigan and Kuqa Rivers Oasis in Xinjiang, China. *Polish Journal of Environmental studies*, 32(4): 3501–3514.  
<https://doi.org/https://doi.org/10.15244/pjoes/166167>
- Banza, C.L.N., Nawrot, T.S., Haufroid, V., Decrée, S., De Putter, T., Smolders, E., Kabyla, B.I., Luboya, O.N., Ilunga, A.N., Mtombo, A.M. and Nemery, B., 2009. High human exposure to cobalt and other metals in Katanga, a mining area of the Democratic Republic of Congo. *Environmental Research*, 109(6): 745–752.  
<https://doi.org/10.1016/j.envres.2009.04.012>
- Barton, M.D., 2014. Iron oxide (Cu-Au-REE-P-Ag-U-Co) systems. *Treatise on Geochemistry* (Second Edition), V. 13, pp. 515-541.  
<http://dx.doi.org/10.1016/B978-0-08-095975-7.01123-2>
- Boumaza, B., Kechiched, R. and Chekushina, T.V., 2021. Trace metal elements in phosphate rock wastes from the Djebel Onk mining area (Tébessa, eastern Algeria): A geochemical study and environmental implications. *Applied Geochemistry*, 127: 104910.  
<https://doi.org/10.1016/j.apgeochem.2021.104910>
- Chau, N., Benamghar, L., Pham, Q.T., Teculescu, D., Rebstock, E. and Mur, J.M., 1993. Mortality of iron miners in Lorraine (France): Relations between lung function and respiratory symptoms and subsequent mortality. *British Journal of Industrial Medicine*, 50(11): 1017–1031.  
<https://doi.org/10.1136/oem.50.11.1017>
- Chen, S.Y., Hayes, R.B., Liang, S.R., Li, Q.G., Stewart, P.A. and Blair, A., 1990. Mortality experience of haematite mine workers in China. *British Journal of Industrial Medicine*, 47(3): 175–181.  
<https://doi.org/10.1136/oem.47.3.175>
- Dabiri, R., Bakhshi Mazdeh, M. and Mollai, H., 2017. Heavy metal pollution and identification of their sources in soil over Sangan iron-mining region, NE Iran. *Journal of Mining and Environment*, 8(2): 277–289.  
<https://doi.org/10.22044/jme.2016.820>
- Daliran, F., 2002. Kiruna-type iron oxide-apatite ores and apatites of the Bafq district, Iran, with an emphasis on the REE geochemistry of their apatites. In: T.M. Porter, (Editor), *Hydrothermal Iron Oxide Copper-Gold and Related Deposits: A Global Perspective*, vol. 2. PGC Publishing, Adelaide, pp. 303–320. Retrieved June 23, 2025 from  
<https://www.geokniga.org/bookfiles/geokniga-19bafq-district-irandaliran.pdf>
- Daliran, F., Stosch, H.-G., Williams, P.J., Jamali, H. and Dorri, M.B., 2010. Early Cambrian iron oxide-apatite-REE (U) deposits of the Bafq district, East-Central Iran. In: Co. Louise and M. Hamid (Editors), *Exploring for Iron Oxide Copper-Gold (Ag-Bi-Co-U) Deposits: Examples from Canada and Global Analogues*, pp. 147–160. Retrieved June 23, 2025 from  
<https://www.scirp.org/reference/referencespapers?referenceid=1942458>
- Dou, Y., Li, J., Zhao, J., Hu, B. and Yang, S., 2013. Distribution, enrichment and source of heavy metals in surface sediments of the eastern Beibu Bay, South China Sea. *Marine Pollution Bulletin*, 67(1–2): 137–145.  
<https://doi.org/10.1016/j.marpolbul.2012.11.022>
- Eby, G.N., 2004. *Principles of environmental geochemistry*. Brooks/Cole, Australia, 514 pp.
- Ettler, V., Cihlová, M., Jarošíková, A., Mihaljevič, M., Drahota, P., Kříbek, B., Vaněk, A., Penížek, V., Sracek, O. and Klementová, M., Engel, Z., Kamona, F. and Mapani, B., 2019. Oral bioaccessibility of metal (loid)s in dust materials from mining areas of northern Namibia. *Environment International*, 124: 205–215.  
<https://doi.org/10.1016/j.envint.2018.12.027>
- Garcia, J.H., Li, W.W., Arimoto, R., Qkarasinski, R., Greenlee, J. and Walton, J., 2004. Characterization and implication of potential fugitive dust sources in the Paso del Norte region. *Science of the Total Environment*, 325(1–3): 95–112.  
<https://doi.org/10.1016/j.scitotenv.2003.11.011>
- Haghipour, A., 1977. Geological map of Posht-eBadam, Scale 1:250,000. Geological Survey of Iran.

- Hakanson, L., 1980. An ecological risk index for aquatic pollution control: a sedimentological approach. *Water Research*, 14(8): 975–1001. [https://doi.org/10.1016/0043-1354\(80\)90143-8](https://doi.org/10.1016/0043-1354(80)90143-8)
- Heidarian, H., Alirezaei, S. and Lentz, D.R., 2017. Chadormalu Kiruna-type magnetite-apatite deposit, Bafq district, Iran: Insights into hydrothermal alteration and petrogenesis from geochemical, fluid inclusion, and sulfur isotope data. *Ore Geology Reviews*. 83: 43–62. <http://dx.doi.org/10.1016/j.oregeorev.2016.11.031>
- Hernandez, L., Probst, A., Probst, J. L. and Ulrich, E., 2003. Heavy metal distribution in some French forest soils: evidence for atmospheric contamination. *Science of the Total Environment*, 312(1–3): 195–219. [https://doi.org/10.1016/S0048-9697\(03\)00223-7](https://doi.org/10.1016/S0048-9697(03)00223-7)
- Hini, G., Eziz, M., Wang, W., Ili, A. and Li, X., 2020. Spatial distribution, contamination levels, sources, and potential health risk assessment of trace elements in street dusts of Urumqi city, NW China. *Human and Ecological Risk Assessment: An International Journal*, 26(8): 2112–2128. <https://doi.org/10.1080/10807039.2019.1651629>
- Hossen, M.A., Chowdhury, A.I.H., Mullick, M.R.A. and Hoque, A., 2021. Heavy metal pollution status and health risk assessment vicinity to Barapukuria coal mine area of Bangladesh. *Environmental Nanotechnology Monitoring & Management*, 16: 100469. <https://doi.org/10.1016/j.enmm.2021.100469>
- Huang, B., Long, J., Liao, H., Liu, L., Li, J., Zhang, J., Li, Y., Wang, X. and Yang, R., 2019. Characteristics of Bacterial Community and Function in Paddy Soil Profile around Antimony Mine and Its Response to Antimony and Arsenic Contamination. *International Journal of Environmental Research and Public Health*, 16(24): 4883. <https://doi.org/10.3390/ijerph16244883>
- Kani Kavan Sharq Consulting Engineers Company, 2021. Engineering services on mining observation and operation of Chadormalu Iron Ore Mine. Chadormalu Mining and Industrial Company. Project No, 1482.
- Kaufman, L. and Rousseeuw, P.J., 1990. Finding Groups in Data. An Introduction to Cluster Analysis. John Wiley and Sons, Inc., New York. 342 pp. <https://doi.org/10.1002/9780470316801>
- Kaufman, L. and Rousseeuw, P.J., 2005. Finding Groups in Data: An Introduction to Cluster Analysis. John Wiley and Sons, Inc., New York. 368 pp. <http://dx.doi.org/10.1002/9780470316801.ch1>
- Khelifi, F., Caporale, A.G., Hamed, Y. and Adamo, P., 2021. Bioaccessibility of potentially toxic metals in soil, sediments and tailings from a North Africa phosphate-mining area: Insight into human health risk assessment. *Journal of Environmental Management*, 279: 111634. <https://doi.org/10.1016/j.jenvman.2020.111634>
- Kříbek, B., Majer, V., Pašava, J., Kamona, F., Mapani, B., Keder, J. and Ettler, V., 2014. Contamination of soils with dust fallout from the tailings dam at the Rosh Pinah Area, Namibia: Regional assessment, dust dispersion modeling and environmental consequences. *Journal of Geochemical Exploration*, 144(Part C): 391–408. <https://doi.org/10.1016/j.gexplo.2014.01.010>
- Liu, E., Yan, T., Birch, G. and Zhu, Y., 2014. Pollution and health risk of potentially toxic metals in urban road dust in Nanjing, a mega-city of China. *Science of the Total Environment*, 476–477: 522–531. <https://doi.org/10.1016/j.scitotenv.2014.01.055>
- Loska, K. and Wiechuya, D., 2003. Application of principle component analysis for the estimation of source of heavy metal contamination in surface sediments from the Rybnik Reservoir. *Chemosphere*, 51(8): 723–33. [http://dx.doi.org/10.1016/S0045-6535\(03\)00187-5](http://dx.doi.org/10.1016/S0045-6535(03)00187-5)
- Moghaderi, A., 2006. Geology and geochemistry of Chadormalu iron mine, southeast of Yazd, northeast of Bafq. Ph.D. Thesis, Shiraz University, Shiraz, Iran, 346 pp.
- Müller, G., 1969. Index of geoaccumulation in sediments of the Rhine River. *GeoJournal* 2(3): 108–118. Retrieved June 23, 2025 from [https://www.researchgate.net/publication/303060644\\_Index\\_of\\_geoaccumulation\\_in\\_sediments\\_of\\_the\\_Rhine\\_River](https://www.researchgate.net/publication/303060644_Index_of_geoaccumulation_in_sediments_of_the_Rhine_River)
- Müller, G., 1979. Schwermetalle in den Sedimenten des Rheins-Veränderungen seit 1971. *Umschau*, 79: 778–783. Retrieved June 23, 2025 from <https://www.scirp.org/reference/ReferencesPapers?ReferenceID=792349>
- Niencheski, L.F., Windom, H.L. and Smith, R., 1994. Distribution of particulate trace metal in

- Patos Lagoon Estuary (Brazil). Marine Pollution Bulletin, 28(2): 96–102.  
[http://dx.doi.org/10.1016/0025-326X\(94\)90545-2](http://dx.doi.org/10.1016/0025-326X(94)90545-2)
- NISCO., 1980. Result of search and valuation works at magnetic anomalies of the Bafq iron ore region during 1976-1979. National Iranian Steel Corporation, Iran, Unpublished Report, 260 pp.
- Plumlee, G.S., Morman, S. A. and Ziegler, T.L., 2006. The toxicological geochemistry of earth materials: An Environ Geochem Health 123 overview of processes and the interdisciplinary methods used to understand them. Reviews in Mineralogy and Geochemistry, 64(1): 5–57.  
<https://doi.org/10.2138/rmg.2006.64.2>
- Ramezani, J., 1997. Regional geology, geochronology and geochemistry of the igneous and metamorphic rock suites of the Saghand Area, central Iran: Unpublished Ph.D. Thesis, St. Louis, Missouri, Washington University, 416 pp.
- Ramezani, J. and Tucker, R.D., 2003. The Saghand region, Central Iran: U-Pb geochronology, petrogenesis and implications for Gondwana tectonics. American Journal of Science, 303(3): 622–665. <http://dx.doi.org/10.2475/ajs.303.7.622>
- Reimann, C. and DeCaritat, P., 2000. Intrinsic flaws of element enrichment factor (EFs) in environmental geochemistry. Environmental Science and Technology, 34(24): 5084–5091.  
<https://doi.org/10.1021/es001339o>
- Reimann, C., Filzmoser, P. and Garrett, R.G., 2002. Factor analysis applied to regional geochemical data: problems and possibilities. Applied Geochemistry, 17(3): 185–206.  
[https://doi.org/10.1016/S0883-2927\(01\)00066-X](https://doi.org/10.1016/S0883-2927(01)00066-X)
- Rudnick, R.L. and Gao, S., 2003. Composition of the continental crust. Treatise on Geochemistry, 3: 1–64.  
<http://doi.org/10.1016/B0-08-043751-6/03016-4>
- Rusk, B., Oliver, N., Cleverley J., Blenkinsop, T., Zhang, D., Williams, P. and Habermann, P., 2010. Physical and chemical characteristics of the Ernest Henry iron oxide copper gold deposit, Australia; implications for IOGC genesis. Global Perspective Series, 3. PGC Publishing, Linden Park, SA, Australia, pp. 201–218. Retrieved June 23, 2025 frpm  
<https://researchonline.jcu.edu.au/18884>
- Sawut, R., Kasim, N., Maihemuti, B., Hu, L., Abliz, A., Abdujappar, A. and Kurban, M., 2018. Pollution Characteristics and Health Risk Assessment of Heavy Metals in the Vegetable Bases of Northwest China. Science of the Total Environment, 642: 864–878.  
<https://doi.org/10.1016/j.scitotenv.2018.06.034>
- Singh, G., Pal, A. and Khoiyanbam, R.S., 2009. Impact of mining on human health in and around Jhansi, Bundelkhand region of Uttar Pradesh, India. Journal of Ecophysiology and Occupational Health, 9(1): 47–54. Retrieved June 23, 2025 from  
<https://www.researchgate.net/publication/364958597>
- Smolders, E., Roels, L., Kuhangana, T.C., Coorevits, K., Vassilieva, E., Nemery, B. and Lubaba Nkulu, C.B., 2019. Unprecedentedly high dust ingestion estimates for the general population in a mining district of DR Congo. Environmental Science and Technology, 53(13): 7851–7858.  
<https://doi.org/10.1021/acs.est.9b01973>
- Soltani, N., 2017. Medical Geology and Environmental Impact Associated with Mining and Mineral Processing in Gol-E-Gohar Iron Mine, Sirjan. Ph.D. Thesis, Shiraz University, Shiraz, Iran, 246 pp.
- Stöcklin, J., 1971. Stratigraphic Lexicon of Iran; Part 1. Central, North and East Iran. Geologic Survey of Iran, Tehran, 338 pp.
- Sucharovà, J., Suchara, I., Hola, M., Marikova, S., Reimann, C., Boyd, R., Filzmoser, P. and Englmaier, P., 2012. Top-/bottomsoil ratios and enrichment factors: What do they really show? Applied Geochemistry, 27(1): 138–145.  
<https://doi.org/10.1016/j.apgeochem.2011.09.025>
- Torab, F.M., 2008. Geochemistry and metallogeny of magnetite-apatite deposits of the Bafq mining district, central Iran. Unpublished Ph.D. Thesis, Clausthal University of Technology, Germany.
- Torab, F.M. and Lehmann, B., 2006. Iron oxide-apatite deposits of the Bafq district, Central Iran: an overview from geology to mining. World of Mining- Surface and Underground, 58(6): 355–362. Retrieved June 23, 2025 from  
<https://sciexplore.ir/Documents/Details/816-174-421-583>
- Torab, F. M. and Lehmann, B., 2007. Magnetite-apatite deposits of the Bafq district, Central Iran: apatite geochemistry and monazite geochronology. Mineralogical Magazine, 71(3):

- 347–363.  
<http://doi.org/10.1180/minmag.2007.071.3.347>
- USEPA, 1997. Exposure Factors Handbook; Office of Research and Development, National Center for Environmental Assessment, U.S. Environmental Protection Agency. Washington, D.C, USA. Retrieved June 23, 2025 from <https://cfpub.epa.gov/ncea/efp/recorddisplay.cfm?deid=236252>
- USEPA, 2001. Supplemental Guidance for Developing Soil Screening Levels for Superfund Sites. OSWER 9355, US Environmental Protection Agency, Washington DC, 4–24. Retrieved June 23, 2025 from <https://nepis.epa.gov/Exe/ZyNET.exe/91003IJK>
- USEPA, 2002. Supplemental Guidance for Developing Soil Screening Levels for Superfund Sites. Office of Solid Waste and Emergency Response: Washington, DC 20460. Retrieved June 23, 2025 from <https://nepis.epa.gov/Exe/ZyNET.exe/91003IJK>
- Wang, F., Guan, Q., Tian, J., Lin, J., Yang, Y., Yang, L. and Pan, N., 2020. Soil enzyme kinetics indicate ecotoxicity of long-term arsenic pollution in the soil at field scale. Ecotoxicology and Environmental Safety, 191: 110215. <https://doi.org/10.1016/j.ecoenv.2020.110215>
- Wang, X.S. and Qin, Y., 2006. Spatial distribution of metals in urban topsoils of Xuzhou (China): controlling factors and environmental implications. Environmental Geology, 49(6): 905–914. <https://doi.org/10.1007/s00254-005-0122-z>
- Wild, P., Bourgkard, E. and Paris, C., 2009. Lung cancer and exposure to metals: The epidemiological evidence. Cancer Epidemiology: Modifiable Factors, 472: 139–167. [https://doi.org/10.1007/978-1-60327-492-0\\_6](https://doi.org/10.1007/978-1-60327-492-0_6)
- Xu, Z., Ni, S., Tuo, X. and Zhang, C., 2008. Calculation of heavy metals' toxicity coefficient in the evaluation of potential ecological risk index. Environmental Science & Technology, 2(8): 31. <http://doi.org/10.19672/j.cnki.1003-6504.2008.02.030>
- Yang, X.Y., Ezizi, M., Ismayil, A. and Hayrat, A., 2021. Assessment of Pollution and Health Risks of Heavy Metals in Surface Dust in Changji City, Xinjiang. Environmental Science & Technology, 44(5): 211. Retrieved June 23, 2025 from <https://www.sciengine.com/AJE/doi/10.7524/AJE.1673-5897.20200203001>
- Ying, L., Shaogang, L. and Xiaoyang., 2016. Assessment of heavy metal pollution and human health risk in urban soils of a coal mining city in East China. HUMAN AND ECOLOGICAL RISK ASSESSMENT, 22(6): 1359–1374. <https://doi.org/10.1080/10807039.2016.1174924>
- Yuan, G.L., Sun, T.H., Han, P., Li, J. and Lang, X.X., 2014. Source identification and ecological risk assessment of heavy metals in topsoil using environmental geochemical mapping: typical urban renewal area in Beijing, China. Journal of Geochemical Exploration, 136: 40–47. <https://doi.org/10.1016/j.gexplo.2013.10.002>
- Zhang, Y., Li, S., Wang, F., Chen, Z., Chen, J. and Wang, L., 2018. An Innovative Expression Model of Human Health Risk Based on the Quantitative Analysis of Soil Metals Sources Contribution in Different Spatial Scales. Chemosphere, 207: 60–69. <https://doi.org/10.1016/j.chemosphere.2018.04.157>
- Zheng, N., Liu, J.S., Wang, Q.C. and Liang, Z.Z., 2010. Health risk assessment of heavy metal exposure to street dust in the zinc smelting district northeast of China. Science of the Total Environment, 408 (4): 726–33. <https://doi.org/10.1016/j.scitotenv.2009.10.075>